

* استنباط علاقة شبه تجريبية لحساب قدرة الإيقاف الإلكتروني للبروتونات وجسيمات ألفا المتفاعلة مع بعض المركبات العضوية

تاريخ القبول 2016/2/16

تاريخ الاستلام 2015/4/20

شهله عبد السادة كاظم

Shahlaa.alruhaimi@uokufa.edu.iq
قسم الفيزياء - كلية التربية للبنات - جامعة الكوفة

راشد عويد كاظم

doctor.rashed@gmail.com
قسم الفيزياء - كلية التربية للبنات - جامعة الكوفة

الخلاصة :-

تم في هذا البحث استنباط علاقة شبه تجريبية لحساب قدرة الإيقاف الإلكتروني للجسيمات المشحونة الثقيلة (البروتونات وجسيمات ألفا) المتفاعلة مع المركبات العضوية [polypropylene(C_3H_6) , Polycarbonate($C_{16}H_{14}O_3$), Mylar ($C_{10}H_8O_4$), Polyvinylalcohol (C_2H_4O), Polyoxymethylene (CH_2O), Polyacrylonitrile (C_3H_3N), Polyvinylpyrrolidone ($C_6 H_9 N O$), Polyvinylacetate ($C_4H_6O_2$), Kapton ($C_{22} H_{10} N_2 O_5$), Bakelite ($C_{44} H_{36} O_6$)] باعتماد النسبة $\left(\frac{Z_2}{A_2}\right)$ ، ضمن مدى الطاقة [0.01-1000] MeV ، ومن خلال مقارنة النتائج المستحصلة مع نتائج برنامج الـ SRIM لنفس الفذائف في تلك المركبات فقد أظهرت توافقاً جيداً مع نتائج الـ 2012 .

الكلمات المفتاحية: - قدرة الإيقاف الإلكتروني ، العلاقات شبه التجريبية ، برنامج الـ SRIM 2012 .

1- المقدمة Introduction

أن عملية فقدان الطاقة للجسيمات المشحونة أخذت وما زالت تأخذ اهتماماً واسعاً في كافة مجالات الفيزياء الذرية والتلوية و المجالات العلوم الأخرى . وتعتمد عمليات حساب فقدان الطاقة على عوامل أساسية للجسيم الساقط ومادة الهدف من خلال السرعة v والشحنة (M) بالنسبة Z_1e والكتلة (M) .

للجسيم الساقط وكذلك على صفة ذلك الوسط (أي مادة الهدف) (لذلك تختلف عمليات فقدان الطاقة من خلال طبيعة ونوع الجسيم الساقط والوسط [1] .

2- النظرية Theory

لقد اعتبر بور فقدان طاقة جسيمة مشحونة ثقيلة نشيطة بسبب تصادمها مع الكترونات الذرة وإن الإلكترون يعد تقريباً حر وساكن قبل التصادم [2]. حيث إشتق علاقة قدرة الإيقاف الإلكترونية لكل الكترون هدف من المادة [3] بالاعتماد على الميكانيك الكلاسيكي:

$$-\left(\frac{dE}{dx}\right)_e = \frac{4\pi Z_1^2 e^4}{mv^2} \ln \frac{Cmv^3}{Z_1 e^2 \omega} \quad (1)$$

* البحث مستمد من رسالة الماجستير للباحث الثاني

$$-\left(\frac{dE}{dx}\right)_e = \frac{4\pi Z_1^2 e^4}{mv^2} L_{Bohr} \quad (2)$$

حيث Z_1e شحنة الجسيمة المشحونة الثقيلة ، v سرعتها ، m كتلة الإلكترون ، e شحنته .

وأن: $L_{Bohr} = \ln \frac{Cmv^3}{Z_1 e^2 \omega} = \ln \xi C$ -: $\xi = \frac{1.1229}{\omega}$ التردد المداري للإلكترون [5,4] .

كما اشتق بيث Bethe صيغة مماثلة لصيغة بور لقدرة الإيقاف الإلكترونية للجسيمات المشحونة الثقيلة معتمداً على الميكانيك الكمي حيث حسب المقطع العرضي التقاضي باستخدام تقرير بورن الأول لاستطارة الأيون [6,5,2] .

$$-\left(\frac{dE}{dx}\right)_e = \frac{4\pi e^4 Z_1^2 N}{mc^2 \beta^2} \ln \frac{2mv^2}{I} \quad (3)$$

$$-\left(\frac{dE}{dx}\right)_e = \frac{4\pi e^4 Z_1^2 N}{mc^2 \beta^2} L_{Bethe} \quad (4)$$

حيث إن N الكثافة الإلكترونية للهدف و C تمثل سرعة الضوء في الفراغ و $\beta = \frac{v}{c}$ حيث:

يسمى عدد إيقاف بيث حيث إن $I = \hbar \omega$ معدل جهد التأين .

بالإضافة إلى الدراسات النظرية فالعديد من الدراسات التجريبية أجريت بهدف صياغة علاقات طاقة ومدى قياسية لحساب قدرة الإيقاف . وقد تمت مراجعة الموضوع في العقدين (50-60) من قبل عدد من الباحثين مثل Taylor ، Uehling، Warshaw و Allision ، Askin و Bethe Berger و Barkas . وإن أغلب البيانات التجريبية جمعت من قبل Whaling Bichsel ، على هيئة جداول [7] .

توصل H. V. Gupta و A. K. Chaubey إلى العلاقة التجريبية التالية لقدرة إيقاف البروتونات [7] :-

$$-\left(\frac{dE}{dx}\right)_e = \frac{a}{A_2} E^{-b} Z_2^c \log E + d \quad (5)$$

إن القيم المناسبة للثوابت a, b, c, d هي $a=915$ ، $b=0.85$ ، $c=0.145$ ، $d=0.635$ للوسط A_2 الوزن الذري و Z_2 العدد الذري للوسط (المادة الموقعة) بينما تمثل الطاقة الحركية للجسيمة الساقطة (الذئفية) بوحدات MeV/amu .

فالعلاقة أعلاه صحيحة ضمن مدى الطاقة MeV/amu (0.7-12) ، والثوابت c, d تم الحصول عليها من مطابقة Schilling و Northcliffe (Fitting) (التي دعيت فيما بعد NS) ، وقد وجدت لتكون مستقلة عن نوع الجسيمة حيث حسبت قدرة الإيقاف بواسطة طريقة التربيعات الصغرى ، أما الثوابت a, b فقد استخلصت من البيانات التجريبية أما الثوابت a, b فقد استخلصت من البيانات التجريبية عند NS و Anderson et al وكذلك بيانات Whaling .

الطاقة الواطنة وقدرة الإيقاف الناتجة تفاصيل بوحدات MeV . [7] cm²/gm

قدرة الإيقاف للايونات الأقل من البروتونات يمكن ايجادها بواسطة التعبير المعطى من قبل Blann و Pierce :-[7]

$$\left(-\frac{dE}{dx}\right)_H = \frac{Z_{eff}^2}{\gamma_p^2} \left(-\frac{dE}{dx}\right)_p \quad (6)$$

حيث : $Z_{eff}^2 = \gamma^2 Z_2^2$ ، هنا الطاقة فوق 0.7 MeV لذلك

للبروتونات $\gamma_p = 1$ وبتعويض (6) في (5) نحصل على :

$$\left(-\frac{dE}{dx}\right)_H = \gamma^2 Z_2^2 a E^{-b} Z_2^c \log E + d \quad (7)$$

كسر الشحنة الفعالة لإليون طاقته E (MeV/amu) يمكن تخمينها من الصيغة التجريبية لـ Grant و Booth و :-[7]

$$\gamma^2 = f(EZ_2^{-4/3})$$

3- النتائج والمناقشة و الحسابات :-

Calculations , results and dissection

في هذا البحث فقد تم اقتراح علاقتان شبه تجريبية لحساب قدرة إيقاف الكترونية للبروتونات وجسيمات ألفا في العشر مركبات العضوية وقد تم تطبيقها باعتماد برنامج حاسوبي بلغة الماتلاب MATLAB للحصول على النتائج النظرية المطلوبة والتي تم توضيحها كرسوم بيانية ومن ثم تم مقارنتها مع نتائج برنامج SRIM 2012.

3-1 العلاقة شبه التجريبية لحساب قدرة إيقاف البروتونات في المركبات العضوية العشرة :-

لقد تم اقتراح علاقة تجريبية لحساب قدرة إيقاف البروتون في المركبات العضوية العشرة ضمن مدى الطاقة [0.01-1000] MeV وذلك باستخدام النسبة $\frac{Z_2}{A_2}$ ، والتي يتعويض طاقة الفزينة ومعدل جهد التأين SRIM للوسط الحصول على نتائج أكثر تقارب مع نتائج SRIM 2012، والعلاقة شبه التجريبية المقترنة هي :

$$S_{emp} = abE^{-1} \quad (14)$$

$$a = 0.104 \langle \frac{Z_2}{A_2} \rangle$$

$$b = \ln(0.98 + 7.7 * 10^3 * (\frac{E^{1.5}}{I})) \quad (15)$$

$$\langle \frac{Z_2}{A_2} \rangle = \frac{\sum_i n_i Z_{2i}}{\sum_i n_i A_{2i}} \quad [9]$$

حيث S_{emp} العلاقة شبه التجريبية لقدرة الإيقاف الإلكترونية للبروتونات ، وأن Z_2 العدد الذري و A_2 الوزن الذري للعنصر i من عناصر الهدف ، n_i عدد الذرات للهدف (الوسط) . وأن I تمثل معدل جهد التأين للوسط والتي تحسب كالتالي $-:[10,9]$

$$I \cong \begin{cases} 19.0 \text{ eV}, & Z_2 = 1 \text{ (Hydrogen)} \\ 11.2 + 11.7Z_2 \text{ eV}, & 2 \leq Z_2 \leq 13 \\ 52.8 + 8.71 Z_2 \text{ eV}, & Z_2 > 13 \end{cases} \quad (16)$$

$$\ln\langle I \rangle = \frac{\sum_i n_i Z_{2i} \ln I_i}{\sum_i n_i Z_{2i}} \quad (17)$$

من ملاحظة الشكل (1) نجد ان اعظم قيمة لقدرة الإيقاف تكون عند الطاقة ($E = 0.06 \text{ MeV}$) وتتناقص بازدياد الطاقة وقد اتفقت نتائج العلاقة شبه التجريبية مع نتائج برنامج SRIM 2012 في تلك الاوساط . كما حسب معامل الارتباط ونسبة الخطأ للعلاقة شبه التجريبية لقدرة إيقاف البروتونات في كل مركب من المركبات التي درست في هذا البحث وادرجت في الجدول (1) والذي أظهر

$f(x) = 1 - \exp(-24.73x + 247.6x^2 - 1131x^3)$ ولحساب قدرة إيقاف جسيمات الفا من المعادلة (7) ، نفترض بأن الطاقة اكبر من 4 MeV ، كسر الشحنة الفعالة لجسيمات ألفا $= 1/\gamma^2$. عند الطاقة أقل من 4 MeV اي من $0.7 \text{ إلى } 1 \text{ MeV /amu}$ ، بمطابقة بيانات NS لجسيمات ألفا بواسطة طريقة التربيعات الصغرى وابقاء C و d ثوابت تصبح $a = 3.574$, $b = 0.84$ لجسيمات ألفا، فإن المعادلة (5) ينبغي ان تعدل الى [7]:

$$\left(-\frac{dE}{pdX} \right) = \frac{3574}{A_2} E^{-0.84} Z^{0.145} \log E + 0.635 \quad (8)$$

وقدرة الإيقاف في الاهداف المركبة يمكن الحصول عليها بواسطة نظرية الجمع [7]:

$$\left(-\frac{dE}{pdX} \right)_{compound} = \frac{1}{M_2} \sum_i N_i A_i \left(-\frac{dE}{pdX} \right)_i \quad (9)$$

حيث M_2 الوزن الجزيئي للوسط المركب من N من الذرات ذات الوزن الذري A_2 .

وكذلك لخص Anderson و Ziegler بيانات قدرة إيقاف البروتون التجريبية للعديد من العناصر لمدى واسع من الطاقات. وللحصول على القيم لكل العناصر على مدى مستمر من طاقات البروتون، قام الباحثون بمطابقة (fitting) المنحنيات مع البيانات التجريبية المتوفرة لتوليد معاملات لاستعمالها في قدرة الإيقاف شبه التجريبية كدالة لطاقة البروتون (keV) والعدد الذري Z_2 للهدف . افترضت لتكون متناسبة مع $E^{0.45}$ للطاقة $<25 \text{ keV}$ ، ماعدا $Z_2 \leq 6$ فإنها تناسب مع $E^{0.25}$ ، و— Ziegler et al (25KeV $\leq E \leq 10\text{MeV}$) العلاقة [8] :-

$$\frac{1}{S_e} = \frac{1}{S_{low}} + \frac{1}{S_{high}} \quad (10)$$

حيث :-

$$S_{low} = A_1 E^{A_2} + A_3 E^{A_4} \quad (11)$$

$$S_{high} = \frac{A_5 \ln(\frac{A_6 + A_7 E}{E^{A_8}})}{E^{A_8}} \quad (12)$$

والطاقة $10\text{MeV} \leq E \leq 2\text{GeV}$ يتطلب استعمال

$$S_e = A_9 + A_{10} \left(\frac{\ln E}{E} \right) + A_{11} \left(\frac{\ln E}{E} \right)^2 + A_{12} \left(\frac{E}{\ln E} \right) \quad (13)$$

والمعاملات A_i لكل Z_2 متوفرة على شكل جداول TRIM . [8]

ويكون الايقاف النووي هو السائد ضمن مدى الطاقة (0.01-0.04) MeV وتأثير التهيج والتأين يكون ضمن مدى الطاقة (0.04-0.4) MeV وضمن مدى الطاقة (0.4-1000) يكون الايقاف الالكتروني هو السائد .
وتم ملاحظة ان النتائج المحسوبة باستعمال العلاقة الشبه التجريبية المقترحة تتطابق بشكل جيد مع نتائج برنامج SRIM 2012 وكان معامل الارتباط هو (0.998992 -0.012666) وكذلك نسبة الخطأ كانت (0.998724 -0.021486) كما مبين في الجدول (1).
علمًا ان معامل الارتباط يستخدم لتحديد العلاقة بين خاصيتين.

التقارب الكبير لنتائج العلاقة شبه التجريبية المقترحة (14) مع نتائج SRIM 2012 ولمدى كبير من الطاقات (0.01-1000) MeV

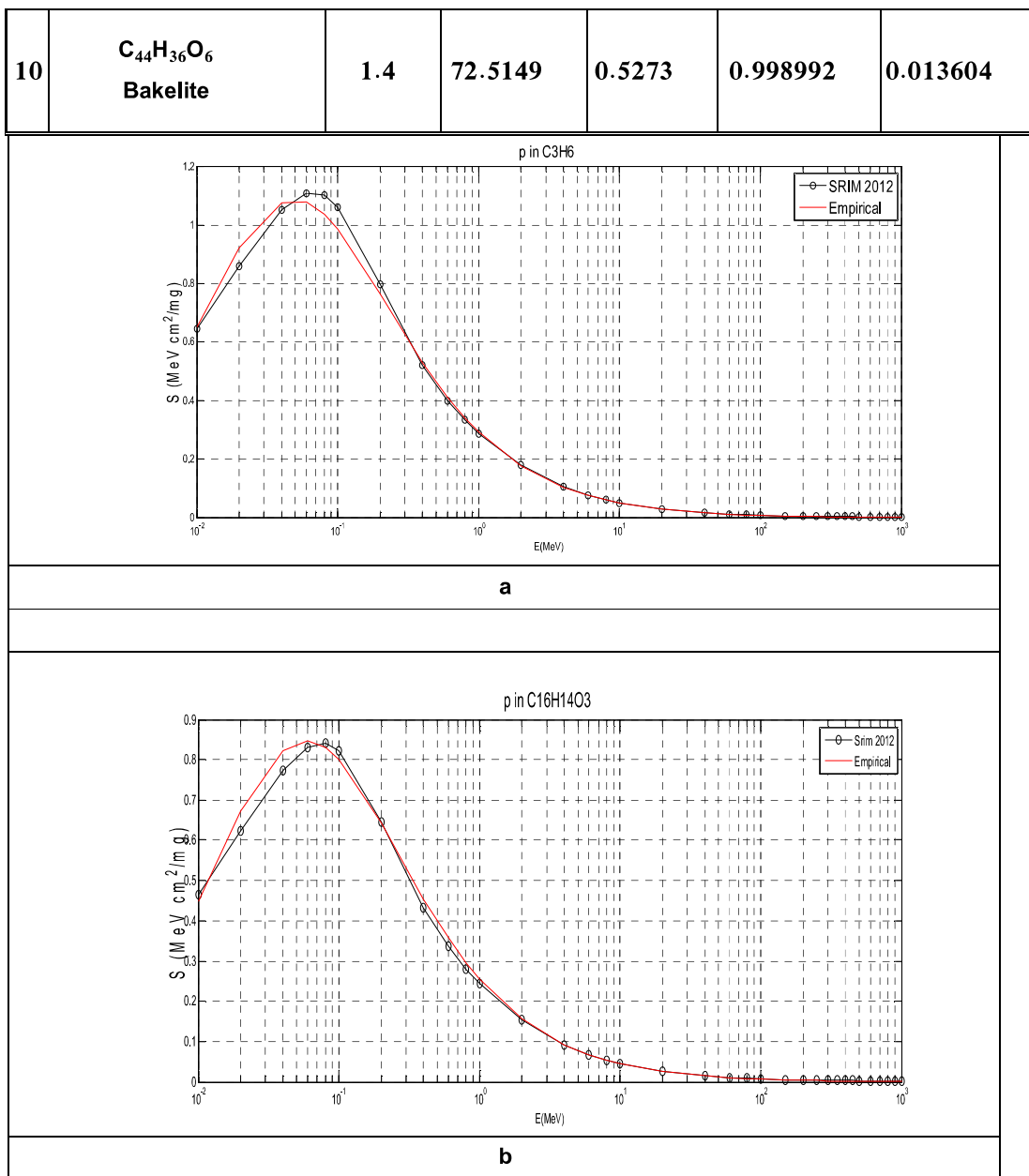
conclusion

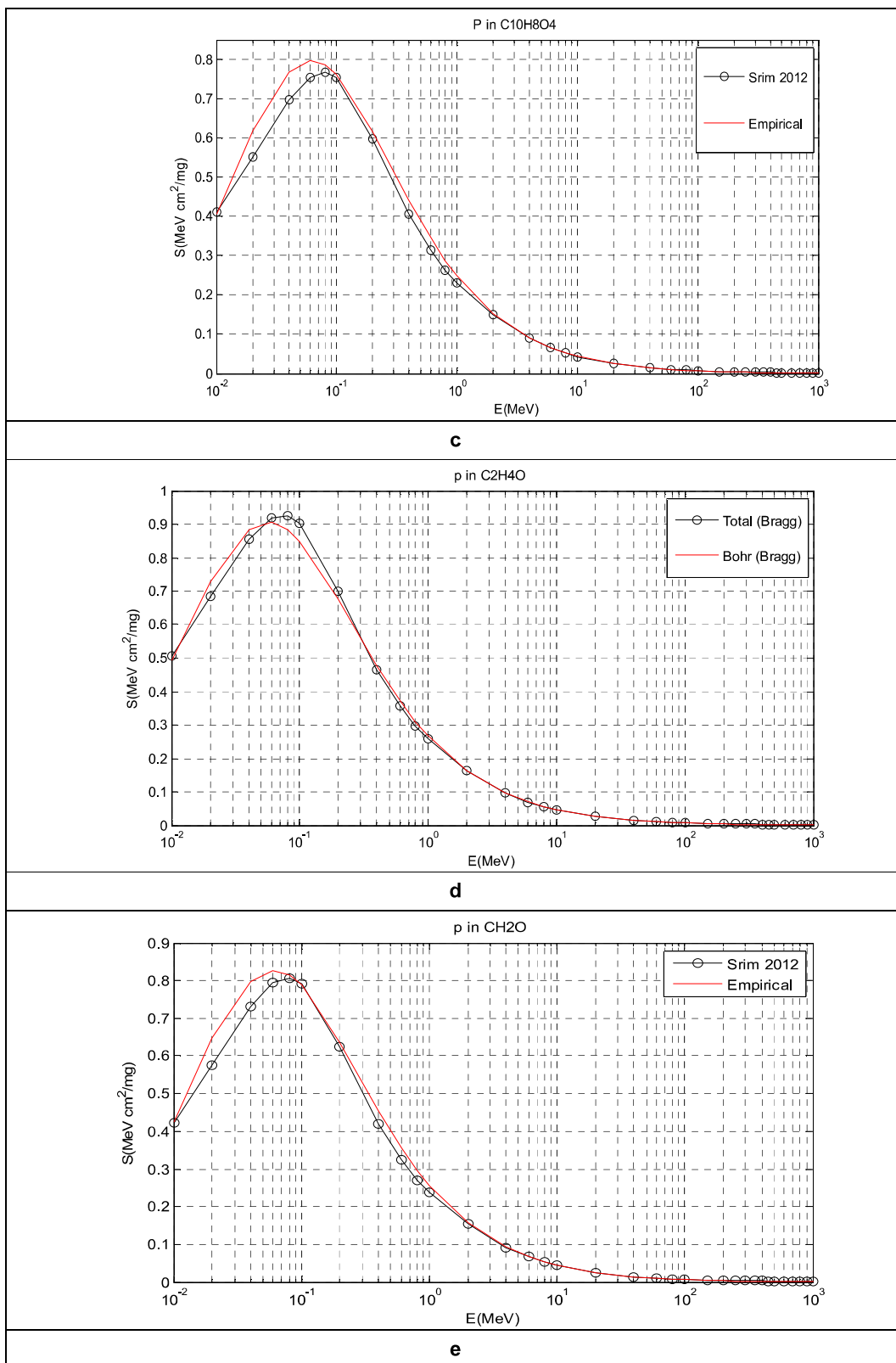
الاستنتاجات :-

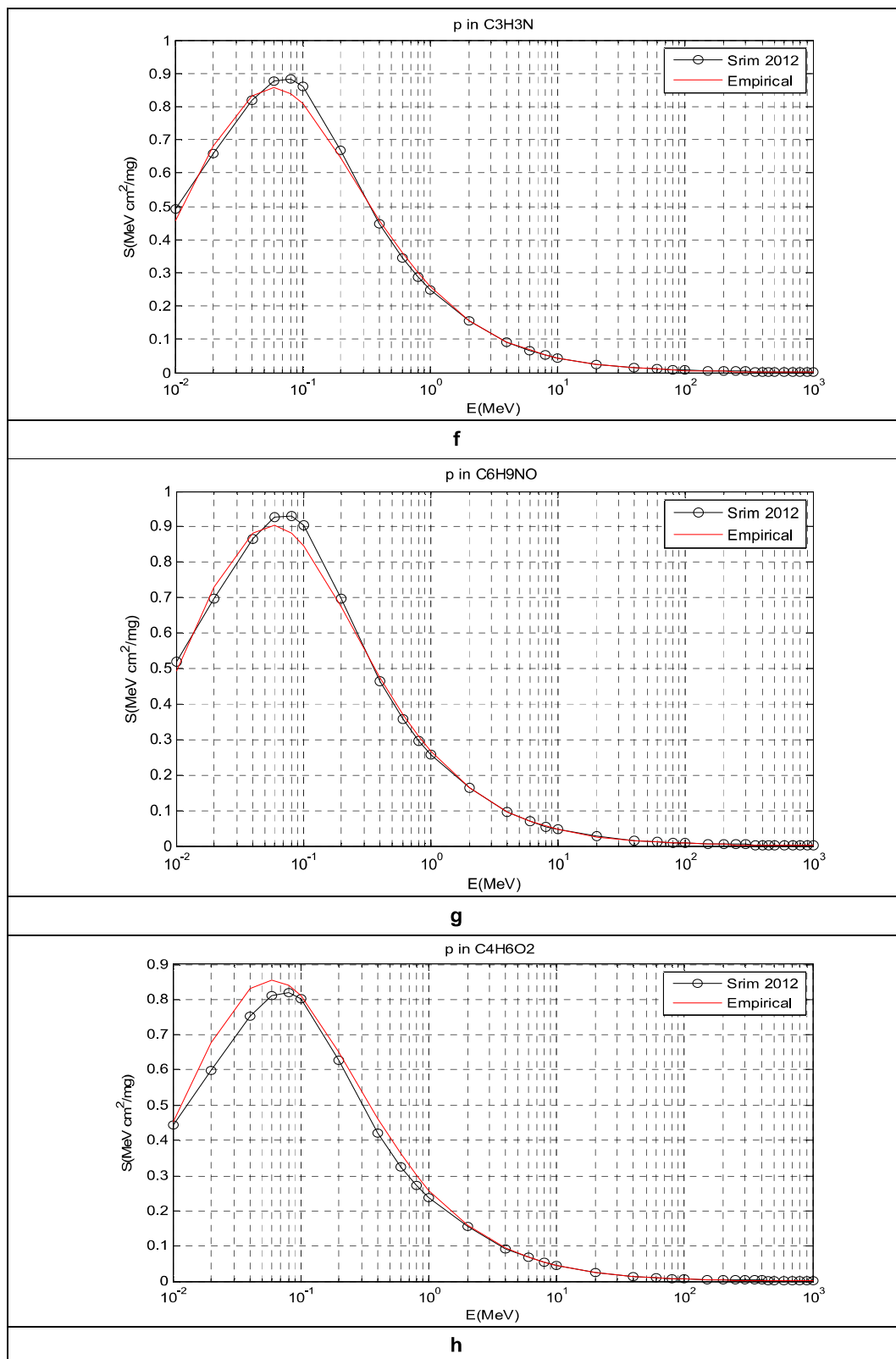
الشكل (1-a, b, c,d,e,f,g,e,h,i,j) يوضح ان قدرة الايقاف تزداد مع الطاقة حتى تصل اعظم قيمة لقدرة الايقاف عند الطاقة (0.04-0.1) MeV ثم تبدأ بالنقصان كلما تزداد الطاقة .

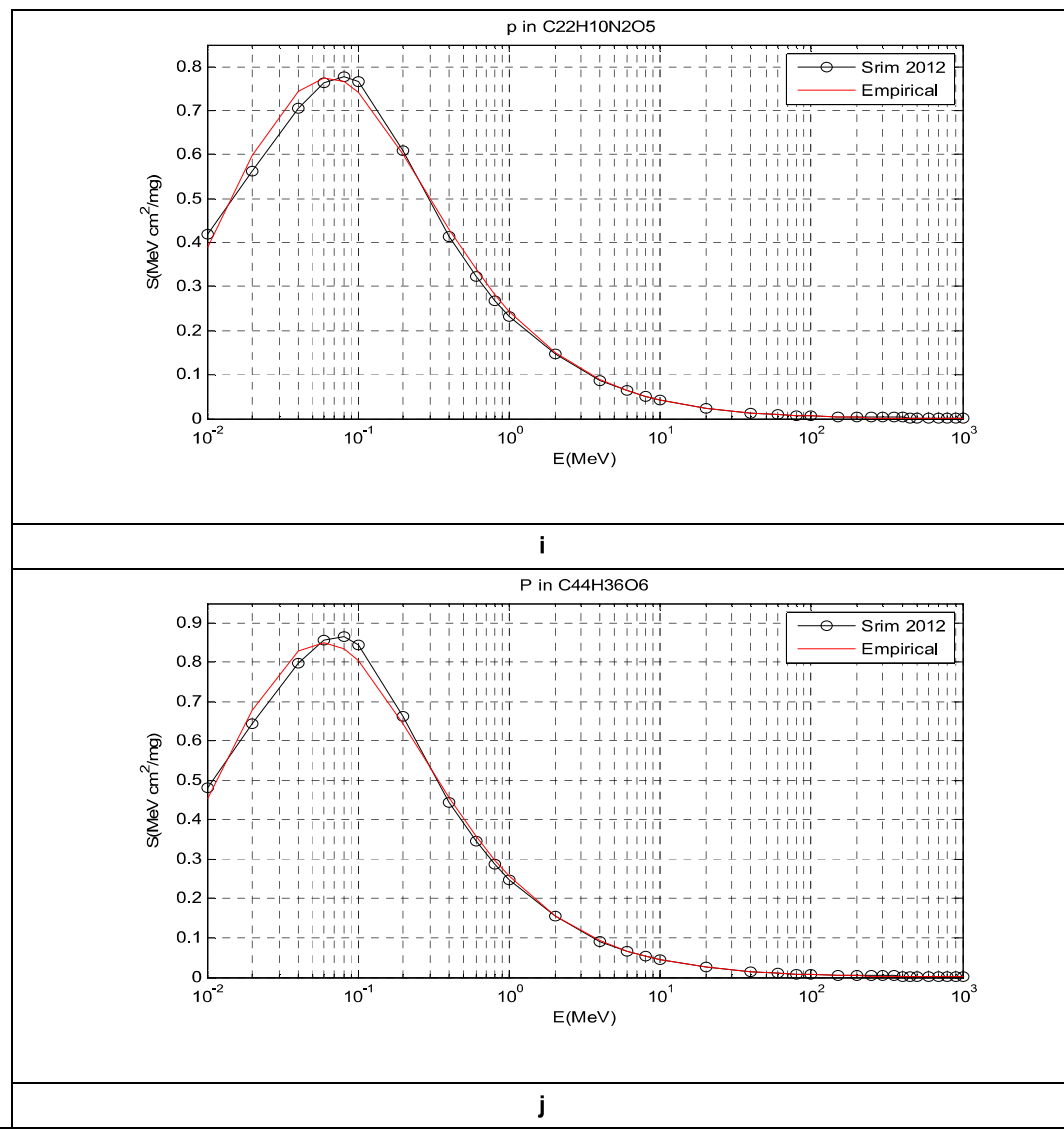
جدول (1) يبيّن الكثافة الكتيلية ومعدل جهد التأين والنسبة $\frac{Z_2}{A_2}$ ومعامل الارتباط ونسبة الخطأ للبروتونات في المركبات العشرة .

No.	الصيغة المركب	الكثافة الكتيلية ρ g/cm^3	معدل جهد التأين $\langle I \rangle \text{ eV}$	النسبة $\frac{Z_2}{A_2}$	معامل الارتباط	نسبة الخطأ
1	C_3H_6 Polypropylene	0.9	56.5429	0.5714	0.998442	0.021486
2	$\text{C}_{16}\text{H}_{14}\text{O}_3$	1.2	73.171	0.5276	0.998977	0.013638
3	$\text{C}_{10}\text{H}_8\text{O}_4$ Mylar	1.4	78.6116	0.5208	0.998908	0.013273
4	$\text{C}_2\text{H}_4\text{O}$ Polyvinylalcohol	1.3	69.53	0.5455	0.998746	0.016131
5	CH_2O Polyoxymethylene	1.425	77.1016	0.5333	0.998724	0.014886
6	$\text{C}_3\text{H}_3\text{N}$ Polyacrylonitrile,	1.17	72.006	0.5283	0.99893	0.014105
7	$\text{C}_6\text{H}_9\text{NO}$ Polyvinylpyrrolidone	1.25	68.75	0.5405	0.998852	0.015402
8	$\text{C}_4\text{H}_6\text{O}_2$ Polyvinylacetate	1.19	73.57	0.5349	0.998835	0.014701
9	$\text{C}_{22}\text{H}_{10}\text{N}_2\text{O}_5$ Kapton	1.42	80.368	0.5131	0.998946	0.012666









شكل (1-a, b, c,d,e,f,g,e,h,i,j) يوضح العلاقة بين قدرة الإيقاف الإلكتروني للبروتونات المارة خلال الأهداف ، (C₃H₆) ، (C₁₆H₁₄O₃) ، (C₁₀H₈O₄) ، (C₂H₄O) ، (C H₂O) ، (C₃H₃N) ، (C₆H₉NO) ، (C₄H₆O₂) ، (C₂₂H₁₀N₂O₅) ، (C₄₄H₃₆O₆) على التوالي.

$$S_{\text{emp}} = abE^{-1} \quad (18)$$

حيث S_{emp} العلاقة شبه التجريبية لقدرة إيقاف جسيمات الألكترونية لجسيمات الفا

$$a = 2.35 * \langle \frac{Z_2}{A_2} \rangle$$

$$b = \ln(1 + 0.3 * 10^3 * (\frac{E^{1.57}}{I}))$$

3- العلاقة شبه التجريبية لحساب قدرة إيقاف جسيمات ألفا في المركبات العضوية العشرة:-

لقد تم اقتراح علاقة تجريبية لحساب قدرة إيقاف جسيمات ألفا في مركبات العضوية العشرة ضمن مدى الطاقة [0.01-1000]MeV وذلك باستخدام النسبة $\langle \frac{Z_2}{A_2} \rangle$ ، والتي بتعويض طاقة الفزينة ومعدل جهد التأين للوسط نحصل على نتائج أكثر تقارب مع نتائج SRIM 2012، والعلاقة شبه التجريبية المقترنة هي :

الشكل (2-a, b, c,d,e,f,g,e,h,i,j) يوضح ان قرابة الايقاف تزداد مع الطاقة حتى تصل اعظم قيمة لقدرة الايقاف عند الطاقة MeV (0.3-1) ثم تبدأ بالنقصان كلما تزداد الطاقة .

ويكون الايقاف النووي هو السائد ضمن مدى الطاقة (0.01-0.1) MeV وتأثير التهيج والتأين يكون ضمن مدى الطاقة (0.1-4) MeV وضمن مدى الطاقة (1000) MeV يكون الايقاف الالكتروني هو السائد .
وتم ملاحظة ان النتائج المحسوبة باستعمال العلاقة الشبه التجريبية المقترنة تتطابق بشكل جيد مع نتائج برنامج SRIM 2012 وكان معامل الارتباط هو (0.998473) و كذلك نسبة الخطأ كانت (-0.067604) و ذلك نسبة الخطأ كانت (0.997149) كما مبين في الجدول (2) .

من ملاحظة الاشكال (2) نجد ان اعظم قيمة لقدرة الايقاف تكون عند الطاقة $E < 0.6 \text{ MeV}$ (0.4) وتتناقص بازدياد الطاقة وقد اتفقت نتائج العلاقة شبه التجريبية مع نتائج برنامج SRIM 2012 في ذلك . كما حسب معامل الارتباط ونسبة الخطأ للعلاقة شبه التجريبية لقدرة ايقاف جسيمات ألفا في كل مركب من المركبات التي درست في هذا البحث وارجع في الجدول (2) والذي أظهر التقارب الكبير لنتائج العلاقة شبه التجريبية المقترنة (18) مع نتائج SRIM 2012 ولمدى كبير من الطاقات (0.01-1000) MeV .

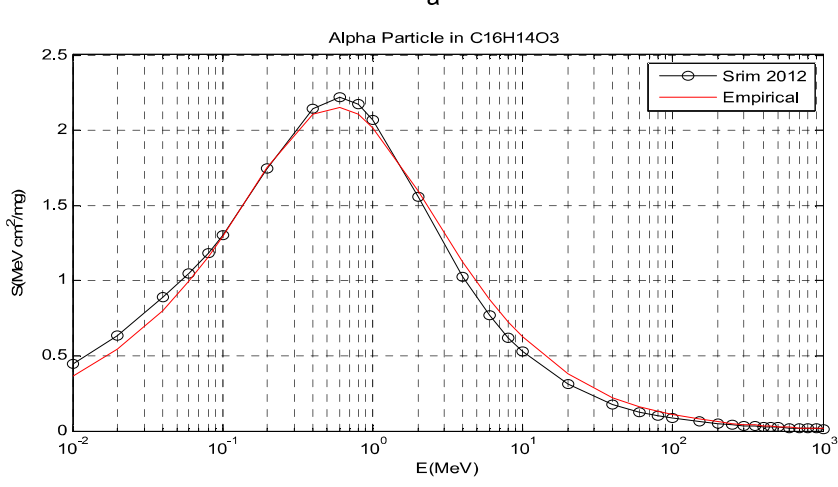
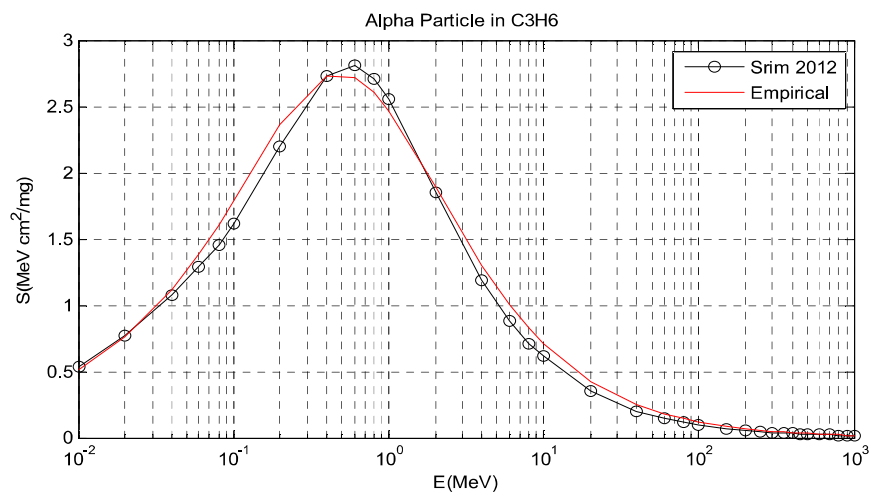
conclusion

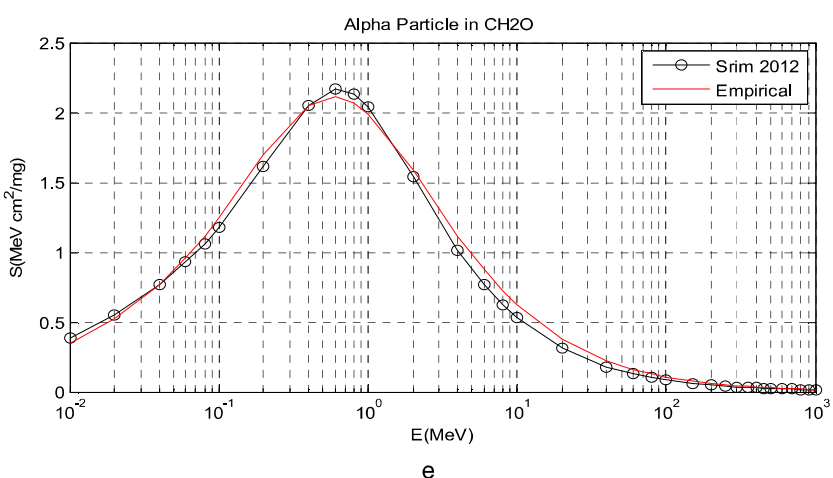
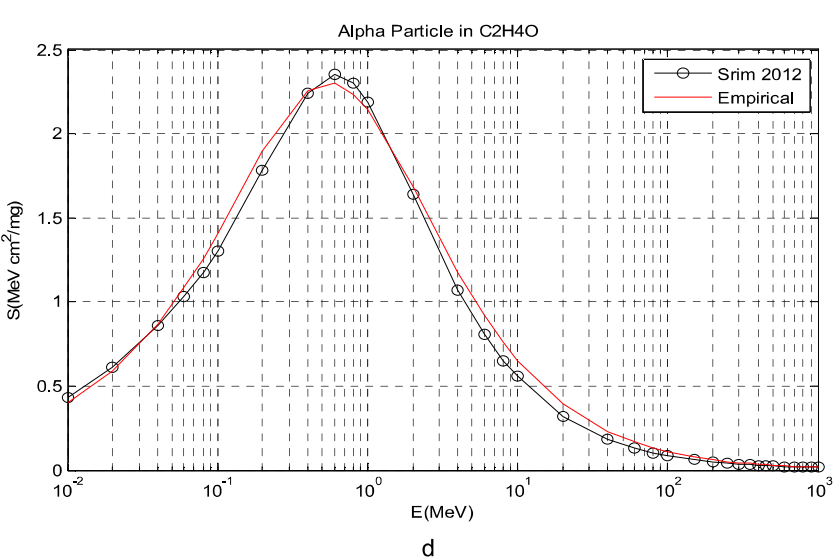
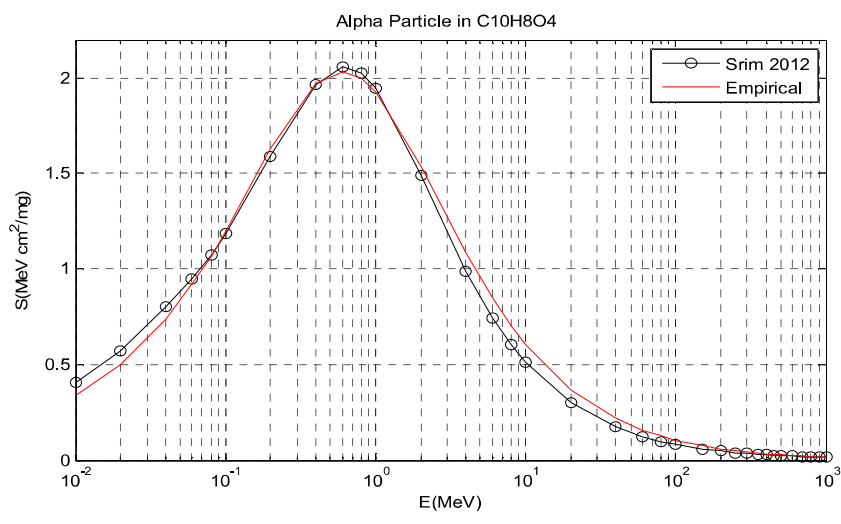
الاستنتاجات :-

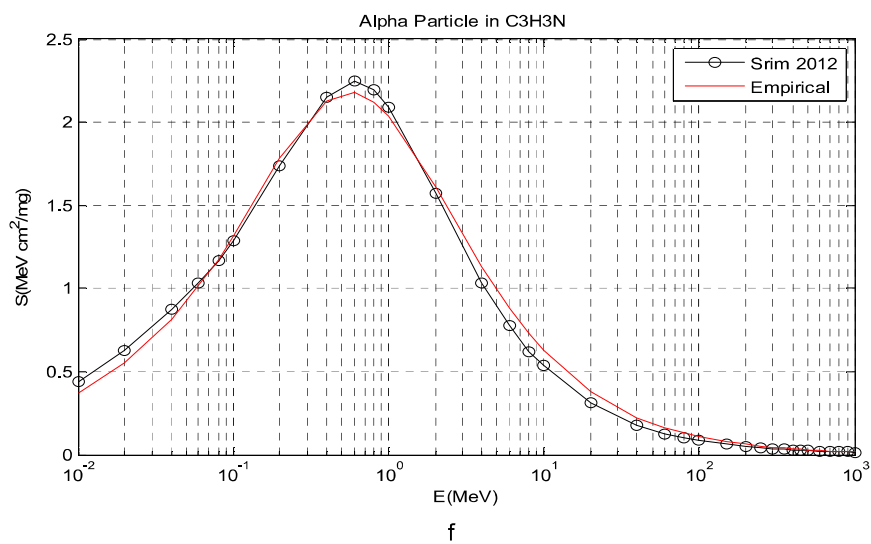
جدول (2) يبين الكثافة الكت十里ة ومعدل جهد التأين والنسبية $\langle \frac{Z_2}{A_2} \rangle$ ومعامل الارتباط ونسبة الخطأ لجسيمات ألفا في المركبات العشرة .

No.	الصيغة المركب	الكثافة الكت十里ة ρ g/cm^3	معدل جهد التأين $\langle I \rangle \text{ eV}$	النسبية $\langle \frac{Z_2}{A_2} \rangle$	معامل الارتباط	نسبة الخطأ
1	C_3H_6 Polypropylene	0.9	56.5429	0.5714	0.997458	0.067604
2	$\text{C}_{16}\text{H}_{14}\text{O}_3$	1.2	73.171	0.5276	0.997719	0.05014
3	$\text{C}_{10}\text{H}_8\text{O}_4$ Mylar	1.4	78.6116	0.5208	0.997966	0.044641
4	$\text{C}_2\text{H}_4\text{O}$ Polyvinylalcohol	1.3	69.53	0.5455	0.998109	0.048789
5	CH_2O Polyoxymethylene	1.425	77.1016	0.5333	0.998076	0.045024
6	$\text{C}_3\text{H}_3\text{N}$ Polyacrylonitrile,	1.17	72.006	0.5283	0.998028	0.047159
7	$\text{C}_6\text{H}_9\text{NO}$ Polyvinylpyrrolidone	1.25	68.75	0.5405	0.998207	0.047408
8	$\text{C}_4\text{H}_6\text{O}_2$ Polyvinylacetate	1.19	73.57	0.5349	0.998473	0.041458
9	$\text{C}_{22}\text{H}_{10}\text{N}_2\text{O}_5$	1.42	80.368	0.5131	0.997149	0.051319

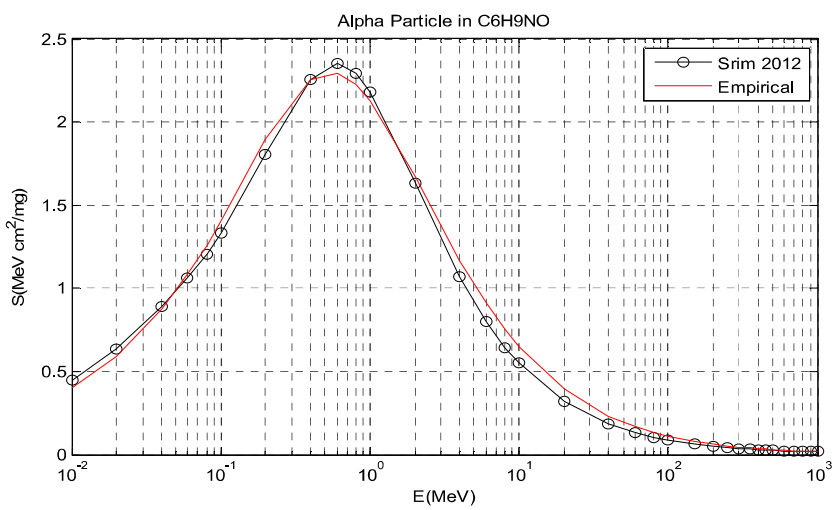
	Kapton					
10	$C_{44}H_{36}O_6$ Bakelite	1.4	72.5149	0.5273	0.997907	0.048279



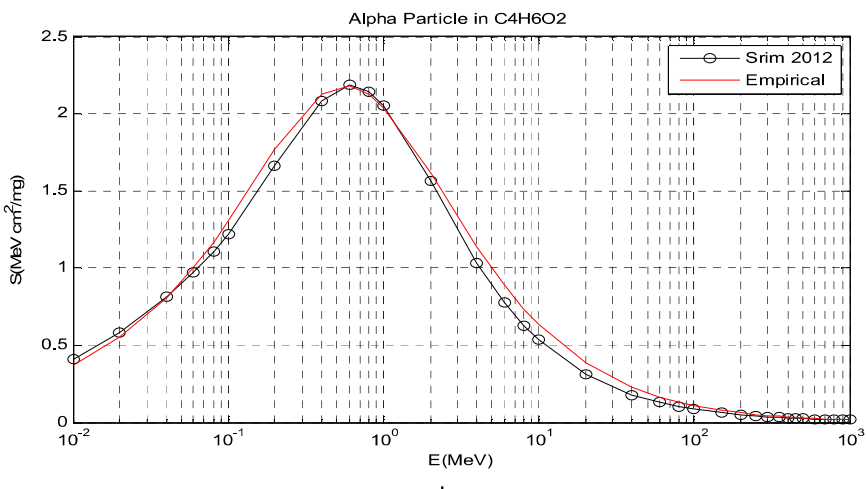




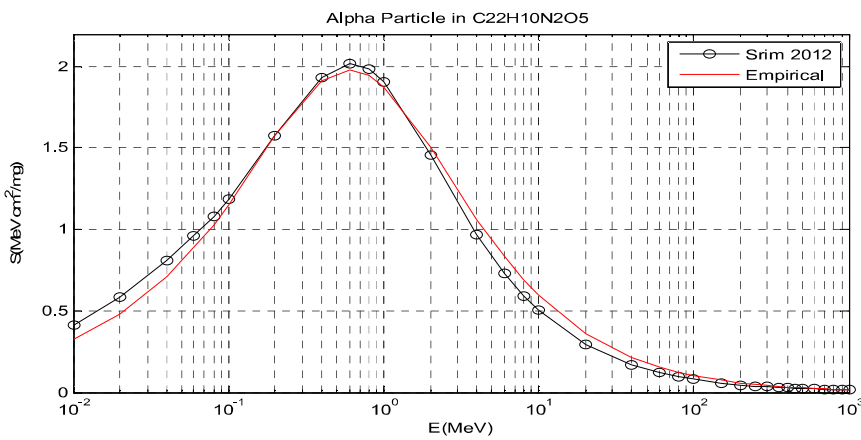
f



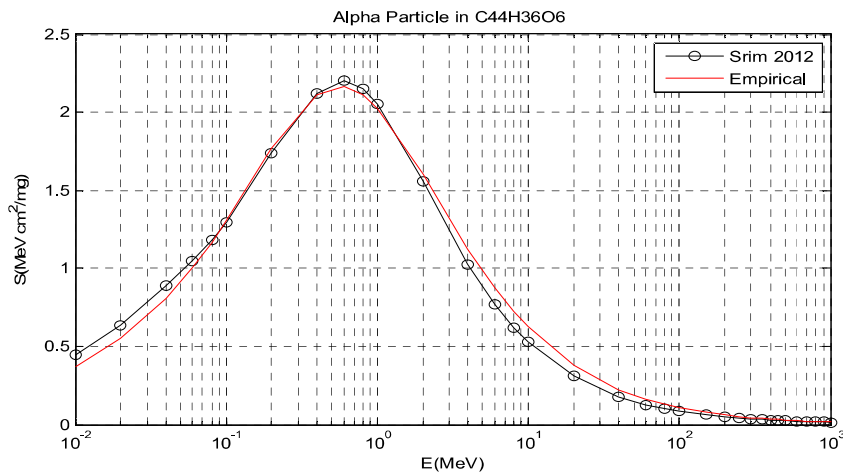
g



h



i



j

شكل (2) يوضح العلاقة بين قدرة الإيقاف الإلكتروني لجسيمات الفا الماردة خلال الأهداف ،
 (C_3H_6) ، $(C_{16}H_{14}O_3)$ ، $(C_{10}H_8O_4)$ ، (C_2H_4O) ، (C_2H_2O) ، (C_3H_3N) ، (C_6H_9NO) ، $(C_4H_6O_2)$ ،
 $(C_{22}H_{10}N_2O_5)$ ، $(C_{44}H_{36}O_6)$ على التوالي.

[3] P.Sigmund 1996. Low-speed limit of Bohr's stopping-power formula. Phys. Rev A , Vol.54 (No.4): p.p. 3113–3118.

[4] A. Schinner and P. Sigmund 2000. Polarization effect in stopping of swift partially screened heavy ions: Perturbative theory. Nucl. Instr. and Meth. in Phys. Res. B, Vol. 164(No.165): p.p. 220–229.

[5] P. Sigmund 1997. Charge – dependent electronic stopping of swift nonrelativistic

References

المصادر :

- [1] A . Aziz Al Rubyi 1999, Increase the range of stopping power of energies ($1 < E(\text{MeV/u}) \leq 0.1$), M. SC. Thesis , Al – Mustansiriyah University,Baghdad,Iraq.
- [2] J.E. Turner 2004. Interaction of ionizing radiation with matter . Health Physics, Vol. 86 (No.3): p.p. 228–252.

- [8] H.H. Andersen , J.F. Ziegler 1977. The Stopping and Ranges of Ions in Matter . Pergamon Press, New York , Vol. 2.
- [9] D. E. Groom, N. V. Mokhov, , S. Striganov 2001. Muon Stopping Power and Range Tables 10 MeV-100 TeV . Atomic Data and Nuclear Data Tables, Vol. 76(No. 2): p.p. 1-37.
- [10] J. E. Turner , 2008 , Atoms, radiation, and radiation protection. physics textbook , John Wiley & Sons .
- heavy ions. Phys. Rev. A , Vol. 56(No. 5): p.p 3781-3792.
- [6] R. Lozeva 2005. A new developed calorimeter telescope for identification of relativistic heavy ion reaction channels. Ph. D. thesis , Sofia University.
- [7] A. K. Chaubey , H. V. Gupta 1977. New empirical relations for stopping power and range of charged particles .revue de physique appliquée , Vol. 12:p.p. 321-329 .

Find semi- empirical relationship to calculate the electronic stopping power of protons & alpha particles interacting with some organic compounds.

Received :20/4/2015

Accepted : 16/2/2016

Rashid Aweed Kadhim

doctor.rashed@gmail.com

Shahla Abdul Sada Kadhim

Shahla.alruhaimi@uokufa.edu.iq

Department of physics- Faculty of Education for Girls- University of Kufa

Abstract

:

In this research find semi-empirical relationship to calculate the electronic stopping power of charged (protons & alpha particles) interacting with organic compounds : - [Polypropylene (C₃H₆), Polycarbonate (C₁₆H₁₄O₃), Mylar (C₁₀H₈O₄), Polyvinylalcohol (C₂H₄O), Polyoxymethylene (CH₂O), Polyacrylonitrile (C₃H₃N), Polyvinylpyrrolidone (C₆ H₉ NO), Polyvinylacetate (C₄H₆O₂), Kapton (C₂₂ H₁₀ N₂ O₅) , Bakelite (C₄₄ H₃₆ O₆)] using the ratio ($\frac{Z_2}{A_2}$), within range of energy [0.01-1000] MeV, and by comparing the obtained results with the results of the SRIM 2012 program for the same projectiles in these compounds have shown good agreement with the results of the SRIM 2012.

Key words: - electronic stopping power, semi-empirical relations, the SRIM 2012 program .

Pisiology Classification QC 170-197